# 分数阶 Caputo 导数的 Dirichlet 型边值问 题的射线方法阶数为 $\alpha \in (1,2)$

#### Kai Diethelm\*

对于与阶数为  $\alpha \in (1,2)$  的非线性分数阶微分方程相关的 Dirichlet 型边值问题 的数值解, 我们建议使用打靶法。特别地, 我们证明所谓的比例分割技术在选择 所需的初始值时会导致收敛到高精度且迭代次数非常少的数值方案, 并提供了这种有利数值行为的分析背景解释。

## 1 介绍

本文的主要目标是建立一种数值方法,用于求解区间 [0,T] 上的非线性分数阶 微分方程

$$D^{\alpha}y(t) = f(t, y(t)) \tag{1a}$$

阶为  $\alpha \in (1,2)$  的狄利克雷型边值条件下的

$$y(0) = b_0, y(T) = b_1,$$
 (1b)

的边值问题,其中涉及某些 T > 0 和任意给定的  $b_0, b_1 \in \mathbb{R}$ 。在公式 (1a) 中, $D^{\alpha}$  表示以起点 0 开始的 Caputo 型微分算子,在我们的假设  $1 < \alpha < 2$  下定义为

$$D^{\alpha}z(t) = \frac{1}{\Gamma(2-\alpha)}\frac{\mathrm{d}^2}{\mathrm{d}t^2} \int_0^t (t-\tau)^{1-\alpha} \left[z(\tau) - z(0) - \tau z'(0)\right] \, \mathrm{d}\tau,$$

参见 [6, Chapter 3]。

众多用于类似问题数值解的算法已被提出,但它们通常仅针对微分方程是线性 [2, 3, 4, 17, 22] 的特殊情况构建和分析。这是一个我们不希望施加的限制。因此,我们的方法将遵循与那些工作中提出的方案显著不同的设计原则。

<sup>\*</sup>Faculty of Applied Natural Sciences and Humanities (FANG), Technical University of Applied Sciences Würzburg-Schweinfurt, Ignaz-Schön-Str. 11, 97421 Schweinfurt, Germany, kai.diethelm@thws.de; ORCID 0000-0002-7276-454X

#### 2 一种打靶方法

众所周知,使用 Caputo 导数的阶数为  $\alpha \in (1,2)$  的分数阶微分方程与二阶经典 边值问题有许多共同的性质。因此,似乎自然地要采用一种已被证明对二阶问 题有效的数值方法,即射击法 [19] 概念,也用于这里考虑的分数阶问题。射击 法的基本原理包括将给定的边值问题重新解释为一个初值问题,该初值问题在 感兴趣区间的左端点处需要通过迭代过程确定其第二个初始值 y'(0),使得区间 右端点的边界条件得到满足。后者是通过标准的分数阶初值问题数值求解器以 近似的方式实现的。从抽象的角度来看,这导致了以下算法:

- 1. 设置 k = 0 并猜测 y'(0) 的一个值  $b'_{0,k}$ 。
- 2. 数值计算初值问题的近似解 $y_k$ ,该问题包括微分方程(1a)和初始条件 $y_k$ (0) =  $b_0$  和  $y_k'(0)$  =  $b_{0k}'(0)$  。
- 3. a) 如果  $y_k(T)$  足够接近所需的边界值  $b_1$ ,接受  $y_k$  作为边值问题 (1) 的近似解并停止。
  - b) 否则,确定一个新的猜测  $b'_{0,k+1}$  用于 y'(0),将 k 增加 1,并返回步骤 2。

要完整地描述和实现这样的算法,则需要指定以下组件:

- 初始猜测  $b'_{0k}$  的选择 对于 y'(0),
- 初始值问题在第2步中所需的数值求解器,并且
- 计算下一个猜测值  $b'_{0,k+1}$  的算法,如果当前迭代中计算出的近似解对于 y'(0) 而言不够准确。

特别地,我们可以这样解释最后一个项目:由于所有其他数据保持不变,我们可以认为当前近似解在右端点的函数值  $y_k(T)$  只依赖于初始猜测  $b'_{0,k}$ ,即存在某个函数  $\phi$  使得  $y_k(T) = \phi(b'_{0,k})$  成立。为了达到我们的目标  $y_k(T) = b_1$ ,因此我们需要找到一个满足方程

$$\phi(b_{0k}) = b_1. {2}$$

的值  $b'_{0,k}$ 。因此,为了获得一个快速的射线算法,有效地解决这个(通常是非线性的)方程至关重要。在此背景下一个明显的想法是使用牛顿法;确实,这已经被建议过,例如,在 [1] 中。然而,计算这种方法所需导数并不总是可行的,并且即使能够计算这些导数,它们的评估也可能成本过高。因此,我们提出了一种基于以下结果的不同方法,该结果是最近关于分数阶初始值问题(阶数为 $\alpha \in (1,2)$ )某些性质的一个观察的推论,参见 [5, Theorem 8]。

#### 定理1. 考虑初值问题

$$D^{\alpha}y_k(t) = f(t, y_k(t)), \qquad y_k(0) = y_0, \quad y'_k(0) = y_{k,1} \qquad (k = 1, 2)$$
 (3)

对于  $t \in [0, \tilde{T}]$  其中  $1 < \alpha < 2$ ,其中假设 f 是连续的,并且在第二个变量中满足 具有 *Lipschitz* 常数 L 的 *Lipschitz* 条件。假设  $y_{1,0} \le y_{2,0}$  和  $y_{1,1} \le y_{2,1}$ 。然后,定义

$$\tilde{a}_*(t) := \inf_{\tau \in [0,t], y \neq 0} \frac{f(\tau, y + y_1(\tau)) - f(\tau, y_1(\tau))}{y}$$

and

$$\tilde{a}^*(t) := \sup_{\tau \in [0,t], y \neq 0} \frac{f(\tau, y + y_1(\tau)) - f(\tau, y_1(\tau))}{y},$$

存在某个  $T \in (0, \tilde{T}]$  使得

$$(y_{2,1} - y_{1,1})tE_{\alpha,2}(\tilde{a}_*(t)t^{\alpha}) \le y_2(t) - y_1(t) \le (y_{2,1} - y_{1,1})tE_{\alpha,2}(\tilde{a}^*(t)t^{\alpha}) \tag{4}$$
 
$$\forall f \in [0,T]_{\circ}$$

这里,  $E_{\alpha,\beta}$  表示通常的两参数 Mittag-Leffler 函数 [16]。由定理 1, 我们可以读出两条重要信息:

- 1. 如果 T 足够小, 我们可以保证边值问题 (1) 具有唯一解。
- 2. 特殊情况 t = T 的方程 (4) 而言,至少在渐近意义上,区间右端点处两个解的边界值之差  $y_2(T) y_1(T)$  与这些解在左端点处的一阶导数之差  $y_{2,1} y_{1,1} = y_2'(0) y_1'(0)$  成正比,前提是这两个解本身在左端点处重合,即如果 $y_1(0) = y_2(0)$ 。

其中前者让我们得出结论,对解进行数值近似是有意义的。后者告诉我们可以 采用在 [11] 中介绍的方法解决阶数为  $\alpha \in (0,1)$  的分数终端值问题,并使用所谓 的比例分割法来确定初始值 y'(0) 的下一个猜测值。实际上,这相当于用割线法 求解方程 (2)。

因此,根据[11]中概述的策略,我们的算法按照公式

$$b'_{0,k+1} = b'_{0,k} + (b_1 - y_k(T)) \frac{b'_{0,k} - b'_{0,k-1}}{y_k(T) - y_{k-1}(T)}$$

$$= \lambda_{k+1} b'_{0,k} + (1 - \lambda_{k+1}) b'_{0,k-1}$$
(5)

计算出  $b'_{0,k+1}$  对于 y'(0) 的猜测值其中

$$\lambda_{k+1} = \frac{b_1 - y_{k-1}(T)}{y_k(T) - y_{k-1}(T)}.$$

由于我们在 (5) 中展示的方法使用了  $b'_{0,k}$  和  $b'_{0,k-1}$ ,即当前对 y'(0) 的近似值和前一个,来计算新的猜测值  $b'_{0,k+1}$ ,因此需要提供两个初始猜测值来启动算法。因此,为了完成射线法的描述,我们需要指定初始猜测值  $b'_{0,0}$  和  $b'_{0,1}$  用于 y'(0)。

在讨论的类似应用 [11] 中已经表明,这种方法对于起始值的选择非常鲁棒,并且达到给定精度所需的迭代次数仅非常弱地依赖于所选  $b'_{0,0}$  和  $b'_{0,1}$  的值。因此我们通常使用特别简单和计算成本低廉的选择

$$b'_{0,0} = 0$$
 and  $b'_{0,1} = \frac{1}{T}(b_1 - b_0)$  (6)

(后者是在给定区间上的精确解的一阶导数的平均值)。在特殊情况下当  $b_0 = b_1$ ,这将导致  $b'_{0,0} = b'_{0,1}$ ,这是不允许的,因此我们此时(仅在此时)用

$$b'_{0,0} = 0$$
 and  $b'_{0,1} = \begin{cases} 1 & \text{if } y_0(T) > b_1, \\ -1 & \text{if } y_0(T) < b_1. \end{cases}$  (7)

替换(6)

最后,根据 [11,12] 的观察结果,我们建议使用分数阶 Adams-Bashforth-Moulton 方法 [8,9] 或二阶分数阶后向差分公式 [20,21] 来求解选定初始条件下的分数阶 初值问题。为了简化和提高效率,我们为这些求解器使用均匀网格,并采用基于 FFT 的实现方式 [15,18],该方式只需  $O(N\log^2 N)$  次操作即可计算出在 N 个网格点上的数值解。

## 3 方法的性质

算法的误差可以通过一种类似于在 [11] 中终端值问题求解器所采用的方法来进行分析。

**定理 2.** 假设定理 I的前提条件,即 T 按照该定理所述进行选择,并且初值问题 求解器以某个常数 p>0 逼近给定的分数阶微分方程 (1a) 的解具有  $O(N^{-p})$  收敛阶。那么

$$\max_{j=0,1,2,\dots,N} |y(t_j) - y_k(t_j)| = O(|y'(0) - b'_{0,k}|) + O(N^{-p}).$$
 (8)

证明. 证明遵循了 [11, proofs of Theorems 4.1 and 4.2] 的思路。

此外,正如在 [11, Subsection 4.2] 中所见,该算法具有数值稳健性,并且继承了基础分数阶常微分方程求解器的稳定性。我们在这里建议的求解器(Adams-Bashforth-Moulton 或分数阶 BDF)已被证明是合适的,在 [13, 14, 20] 中。

# 4 一个数值示例

作为一个数值示例来展示我们方法的性能,我们来看属于图 1中蓝色曲线的微分方程

$$D^{1.55}y(t) = \frac{1}{(t+5)^{0.65}}\sin(1.3 \cdot t \cdot y(t)),\tag{9a}$$

一个稍作变化的问题, 讨论见 [11, Example 5.3]。为了以适当的方式指定相关的狄利克雷边界条件,我们首先注意到边值问题解的唯一性确实依赖于所考虑区间的长度。如果我们选择例如区间 [0,5.384] 并通过步长为  $h=10^{-6}$  的 BDF2 数值计算一些解,那么我们可以观察到如图 1所示的行为。我们选择了两个解  $y_1$  和  $y_2$  满足微分方程 (9a) 的初始条件  $y_1(0)=y_2(0)=1$ ,  $y_1'(0)=-0.15$  和  $y_2'(0)=-0.3$ ,分别。由于区间过长,无法满足保证这些解分离所需的条件,我们发现  $y_1$  和  $y_2$  的图像在  $t^* \approx 5.384$  处相交,并且具有相同的函数值  $y_1(t^*)=y_2(t^*)=y^*\approx 0.387$ 。因此,在如此长的区间内,微分方程 9a在边界条件 y(0)=1 和  $y(t^*)=y^*$  下的边值问题至少有两个解。在这种情况下,通常无法预测射线法会收敛到哪一个解。

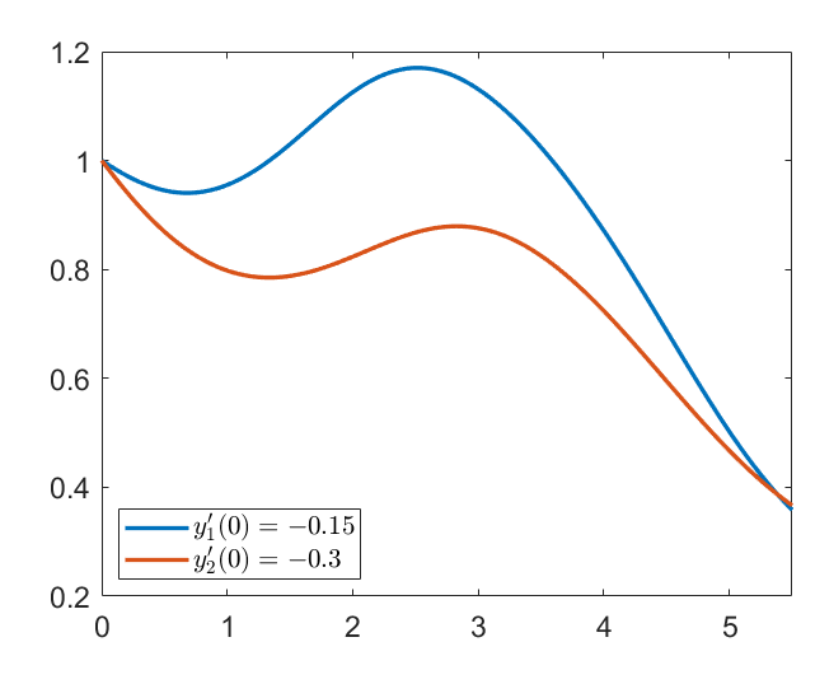


Figure 1: 微分方程 (9a) 的两个解  $y_1$  和  $y_2$  的图形,它们都满足  $y_k(0) = 1$ ,但  $y'_k(0)$  的值不同:这两个解在  $t^* \approx 5.384$  处相交。

因此,我们需要减小区间长度以保证边值问题解的唯一性。根据 [5] 的观察,可以通过选择区间 [0,2.9] 来证明存在唯一的解。因此,在我们的数值示例中,我们将微分方程 (9a) 与边界条件

$$y(0) = 1$$
 and  $y(2.9) = 1.145$  (9b)

结合起来。。使用 BDF2 方法解决此情境中的初始值问题,我们的算法随后给出了表 1所示的结果。我们可以观察到,即使对于请求的精度为 10<sup>-10</sup>,射线法也仅在 7 次迭代中收敛至该误差。

step	requested	no. of shooting	actual maximal error
size	accuracy	iterations	over [0, 2.9]
1/100	$10^{-4}$	5	$1.15 \cdot 10^{-5}$
1/100	$10^{-8}$	6	$1.25 \cdot 10^{-7}$
1/200	$10^{-8}$	6	$2.91\cdot 10^{-8}$
1/400	$10^{-8}$	6	$4.95 \cdot 10^{-9}$
1/400	$10^{-10}$	7	$6.76 \cdot 10^{-9}$
1/800	$10^{-10}$	7	$7.24 \cdot 10^{-10}$

Table 1: 边值问题的数值结果 (9)。

计算是通过我们的算法的 MATLAB 实现完成的,可以从 [7] 下载。

## 5 总结与结论

在我们最近的论文 [11] 中,我们开发并分析了用于求解与 Caputo 型分数阶微分方程相关的终端值问题的比例分割方案。该方程的阶数为  $\alpha \in (0,1)$ 。现在我们将所涉及的微分算子的阶数假设更改为  $\alpha \in (1,2)$ 。那么,此类方程的理论表明单一的终端条件已不足以保证解的唯一性。从我们在 [5] 中开发的结果来看,在考虑区间的长度满足一定条件下,如果将终端条件增加一个初始条件,则可以恢复唯一性,从而生成具有狄利克雷数据的边值问题。自然地,我们想要寻求此类方程的有效数值解法,并且我们在此展示了通过适当调整来自 [11] 的数值方案,我们可以为此更高阶的问题创建这样一个有效的算法,该问题有两组附加条件而非一组。

# 软件

本文中描述的主要算法的 MATLAB 源代码可以从 Zenodo 平台上的专用仓库 [7] 免费下载,从而允许所有读者重现我们数值实验的结果。所需的辅助例行程序也可以从 Zenodo 获得;见 [10]。我们的函数在 MATLAB R2023a 中进行了测试。

**竞争利益** 作者声明与本研究内容相关的不存在任何利益冲突。

#### References

- [1] Al-Mdallal, Q.M., Hajji, M.A.: A convergent algorithm for solving higher-order nonlinear fractional boundary value problems. Fract. Calc. Appl. Anal. **18**(6), 1423–1440 (2015). DOI 10.1515/fca-2015-0082
- [2] Al-Mdallal, Q.M., Syam, M.I., Anwar, M.N.: A collocation-shooting method for solving fractional boundary value problems. Commun. Nonlinear Sci. Numer. Simul. 15(12), 3814–3822 (2010). DOI 10.1016/j.cnsns.2010.01.020
- [3] Cen, Z., Huang, J., Xu, A.: An efficient numerical method for a two-point boundary value problem with a Caputo fractional derivative. J. Comput. Appl. Math. **336**, 1–7 (2018). DOI 10.1016/j.cam.2017.12.018
- [4] Cen, Z., Huang, J., Xu, A., Le, A.: A modified integral discretization scheme for a two-point boundary value problem with a Caputo fractional derivative. J. Comput. Appl. Math. **367**, 112465 (2020). DOI 10.1016/j.cam.2019.112465
- [5] Chaudhary, R., Diethelm, K., Hashemishahraki, S.: On the separation of solutions to fractional differential equations of order  $\alpha \in (1, 2)$ . Appl. Numer. Math. **203**, 84–96 (2024). DOI 10.1016/j.apnum.2024.05.020
- [6] Diethelm, K.: The Analysis of Fractional Differential Equations, Lecture Notes in Mathematics, vol. 2004. Springer, Berlin (2010). DOI 10.1007/978-3-642-14574-2
- [7] Diethelm, K.: A MATLAB implementation of the proportional secting algorithm for fractional boundary value problems. Zenodo **Record #10656806** (2024). DOI 10.5281/zenodo.10656806. Version 1.0
- [8] Diethelm, K., Ford, N.J., Freed, A.D.: A predictor-corrector approach for the numerical solution of fractional differential equations. Nonlinear Dynam. 29, 3–22 (2002). DOI 10.1023/A:1016592219341
- [9] Diethelm, K., Ford, N.J., Freed, A.D.: Detailed error analysis for a fractional Adams method. Numer. Algorithms 36, 31–52 (2004). DOI 10.1023/B:NUMA.0000027736.85078.be
- [10] Diethelm, K., Garrappa, R., Uhlig, F.: A MATLAB implementation of the proportional secting algorithm for fractional terminal value problems. Zenodo Record #7678311 (2023). DOI 10.5281/zenodo.7678311. Version 1.0
- [11] Diethelm, K., Uhlig, F.: A new approach to shooting methods for terminal value problems of fractional differential equations. J. Sci. Comput. **97**, 38 (2023). DOI 10.1007/s10915-023-02361-9

- [12] Ford, N.J., Morgado, M.L.: Fractional boundary value problems: Analysis and numerical methods. Fract. Calc. Appl. Anal. 14, 554–567 (2011). DOI 10.2478/s13540-011-0034-4
- [13] Garrappa, R.: On linear stability of predictor-corrector algorithms for fractional differential equations. Internat. J. Comput. Math. 87, 2281–2290 (2010). DOI 10.1080/00207160802624331
- [14] Garrappa, R.: Trapezoidal methods for fractional differential equations: Theoretical and computational aspects. Math. Comput. Simul. 110, 96–112 (2015). DOI 10.1016/j.matcom.2013.09.012
- [15] Garrappa, R.: Numerical solution of fractional differential equations: A survey and a software tutorial. Mathematics **6**, 16 (2018). DOI 10.3390/math6020016
- [16] Gorenflo, R., Kilbas, A.A., Mainardi, F., Rogosin, S.: Mittag-Leffler Functions, Related Topics and Applications, 2nd edn. Springer, Berlin (2020). DOI 10.1007/978-3-662-61550-8
- [17] Gracia, J.L., Stynes, M.: Central difference approximation of convection in Caputo fractional derivative two-point boundary value problems. J. Comput. Appl. Math. 273, 103–115 (2015). DOI 10.1016/j.cam.2014.05.025
- [18] Hairer, E., Lubich, C., Schlichte, M.: Fast numerical solution of nonlinear Volterra convolution equations. SIAM J. Sci. Statist. Comput. 6, 532–541 (1985). DOI 10.1137/0906037
- [19] Keller, H.B.: Numerical Methods for Two-Point Boundary-Value Problems. Dover, Mineola (2018)
- [20] Lubich, C.: Fractional linear multistep methods for Abel-Volterra integral equations of the second kind. Math. Comput. **45**, 463–469 (1985). DOI 10.1090/S0025-5718-1985-0804935-7
- [21] Lubich, C.: Discretized fractional calculus. SIAM J. Numer. Anal. 17, 704–719 (1986). DOI 10.1137/0517050
- [22] Stynes, M., Gracia, J.L.: A finite difference method for a two-point boundary value problem with a Caputo fractional derivative. IMA J. Numer. Anal. **35**(2), 698–721 (2015). DOI 10.1093/imanum/dru011